

*Entregue em Set/88
já depois do
Simpósio*

III SIMPOSIO LUSO-BRASILEIRO DE ENGENHARIA SANITARIA E AMBIENTAL (SILUBESA)

Sistema de Colecta, Tratamento e Disposição Final de Esgotos
Estudo correlacional da remoção de indicadores bacterianos de
contaminação fecal num sistema de lagoas de estabilização (Frielas -
Portugal)

M. Jenny do Nascimento
Técnico Superior Principal da DGQA

J. Tiago Nunes Mexia
Prof. Associado Convidado/Dept. Matemática
FCT/UNL

J. Santos Oliveira
Prof. Catedrático/Dept. Ambiente
FCT/UNL

RESUMO:

Neste estudo mostra-se a vantagem de alargar a bacteia tradicional de indicadores de contaminação fecal por inclusão de *Pseudomonas aeruginosa* e *Clostridium perfringens*.

1. Introdução

O objectivo usual e imediato do exame bacteriológico de águas e de águas residuais, é a detecção da poluição fecal, humana ou animal, cujos agentes constituem perigo para a saúde pública, pelos patogénicos que a eles andam associados.

Tradicionamente, os Coliformes fecais e os *Streptococci* fecais, têm sido usados como indicadores para detectar a poluição fecal humana e animal.

Um organismo indicador dessa situação deve ser definido, segundo ORAGUI 1982, do seguinte modo:

- a) Deve ser um biotipo predominante na água residual e excretado

- pelo homem e animais;
- b) Estar presente e ocorrer em maior número que os patogénicos a ele associados;
 - c) Ser incapaz de proliferar em número tão elevado como os patogénicos entéricos, no meio aquático;
 - d) Ser mais resistente aos desinfectantes, no meio aquático, que os patogénicos;
 - e) Ser cultivado e enumerado, recorrendo a técnicas simples, que permitam identificação não ambígua BUTTIAUX e MOSSEL 1961; BONDE 1963; 1966; ORAGUI 1982.

Contudo, é improvável que qualquer dos organismos, escolhidos como indicadores, preencha todos os requisitos apontados. Por esta razão outras bactérias e leveduras têm sido objecto de investigação e analisado o seu significado como "novos indicadores". Seleccionamos, a *Pseudomonas aeruginosa* e *Clostridium perfringens*, para esse efeito.

O objectivo do nosso estudo foi avaliar a remoção dos Coliformes Fecais, *Streptococci* Fecais, *Pseudomonas aeruginosa* e *Clostridium perfringens*, em lagoas de estabilização, instaladas na Estação de Tratamento de Frielas (Loures). Segundo o esquema da Fig. 1.

2. Material e Métodos

2.1. Colheita de amostras e enumeração bacteriana.

Amostras de água residual bruta e de efluentes das lagoas A1, F1 e M1 (Figura 1), foram colhidas em frascos de vidro esterilizados e transportados para o laboratório, em caixas isotérmicas refrigeradas.

Coliformes fecais, *Streptococci* fecais e *Clostridium perfringens* foram enumerados pelo método das membranas filtrantes (Millipore; tipo HAWG 0450).

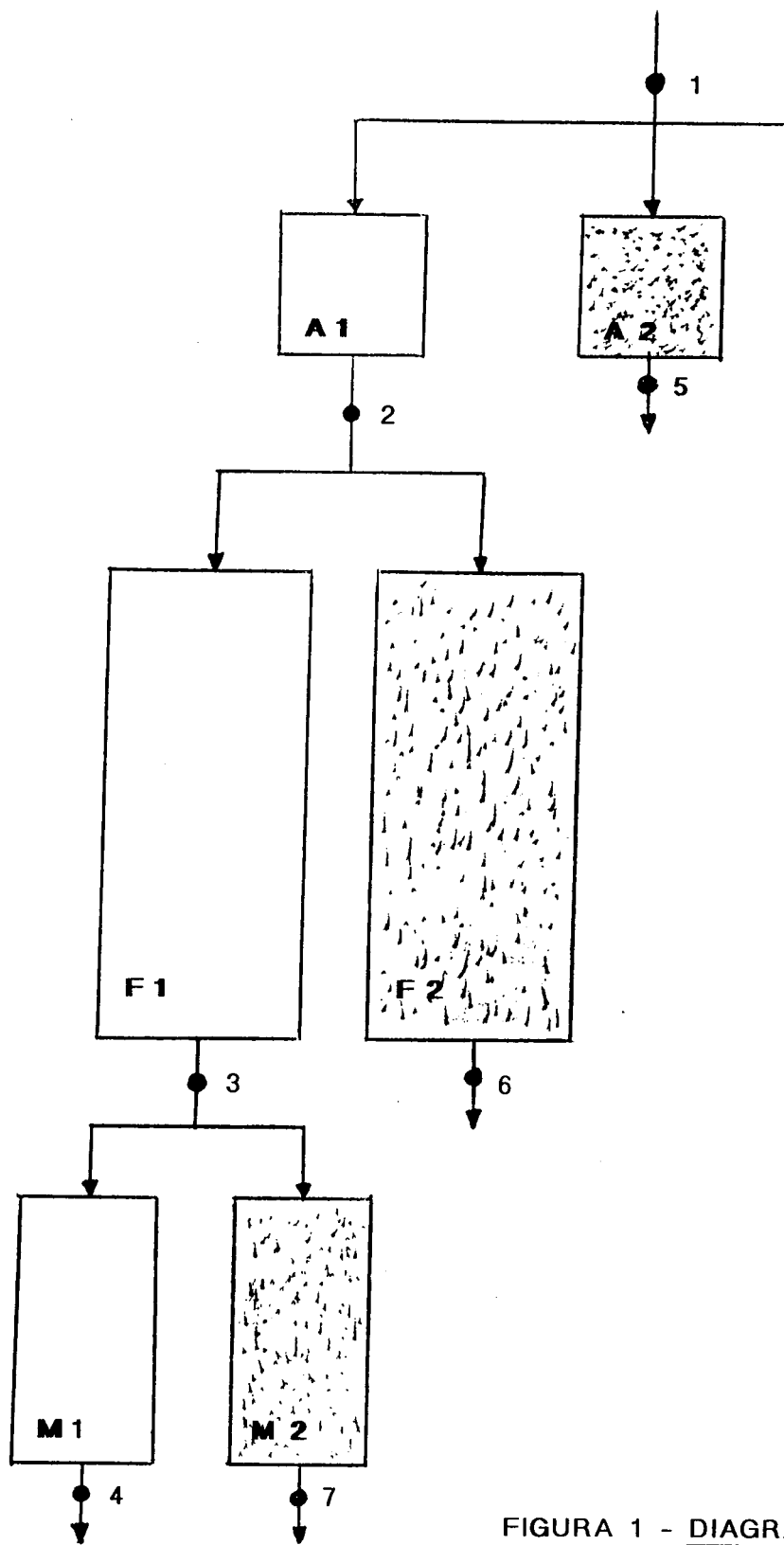


FIGURA 1 - DIAGRAMA DE CIRCUITOS E
PONTOS DE COLHEITA

Para a enumeração dos Coliformes fecais, foram usadas almofadas saturadas com caldo de lauril sulfato a 0,1%. A incubação foi efectuada a 43°C, durante 24 horas.

O *Clostridium perfringens* foi enumerado em Agar Perfringens, tendo como suplementos oleandomicina, polimicina B e Sulfadiazina; a incubação foi efectuada em reactores anaeróbicos, incubados a 73°C, durante 48 horas.

Para a enumeração da *Pseudomonas aeruginosa* foram espalhadas, em placas de Base de Agar para Pseudomonas, com suplemento de cetrímide e de ácido nalidíxico, porções apropriadas de diluições decimais, com o auxílio de uma ansa de vidro esterilizada, em forma de L - incubação 25°C - 48 horas - *Streptococci* Fecais Agar KF para *Streptococci* 37°C - 48 horas.

Para a efectuação das diluições decimais foi utilizado soluto de Ringer estéril, também usado na filtração e lavagem dos funis.

2.2. Amostragem

O período de amostragem para o primeiro ano, decorreu entre 3/9/1984 e 7/10/85. O segundo período foi de 4/11/1986 a 29/6/1987, altura em que a avaria simultânea de três bombas, tornaram a estação experimental inoperante.

3. Resultados e discussão

3.1. Remoção global de patogénicos

A remoção observada foi de uma potência de 10, para os indicadores tradicionais, e nenhuma remoção nos dois novos indicadores na lagoa anaeróbia. A1. Nas lagoas facultativa e de maturação, respectivamente F1 e M1, obteve-se a remoção de uma potência de 10 para qualquer dos indicadores estudados.

Os valores das médias geométricas das concentrações dos microorganismos analisados, no efluente, das lagoas constam do Quadro 1.

| | Média Geométrica | | | | | |
|------------------------------------|-------------------|-------------------|-------------------|-------------------|-------------------|-------------------|
| | A1 | | F1 | | M1 | |
| | Afl.(1) | Efl.(2) | Afl.(2) | Efl.(3) | Afl.(3) | Efl.(4) |
| Coliformes Fecais (1) | $1,9 \times 10^7$ | 6×10^6 | 6×10^6 | $1,3 \times 10^5$ | $1,3 \times 10^5$ | $4,4 \times 10^4$ |
| <i>Streptococci</i> Fecais (1) | $5,2 \times 10^6$ | $8,6 \times 10^5$ | $8,6 \times 10^5$ | $1,9 \times 10^4$ | $1,9 \times 10^4$ | $1,8 \times 10^3$ |
| <i>Pseudomonas aeruginosa</i> (2) | $9,6 \times 10^3$ | $2,7 \times 10^3$ | $2,7 \times 10^3$ | $2,2 \times 10^2$ | $2,2 \times 10^2$ | $8,4 \times 10^1$ |
| <i>Clostridium perfringens</i> (2) | $3,7 \times 10^5$ | $1,1 \times 10^5$ | $1,1 \times 10^5$ | $1,3 \times 10^4$ | $1,3 \times 10^4$ | $4,3 \times 10^3$ |

Quadro 1 - Média geométrica do afluente e esfluente das três lagoas A1; F1 e M1. Remoção dos quatro microorganismos estudados nos dois períodos de amostragem.

(1) - Nº colonias 100 ml^{-1}

(2) - Nº colonias ml^{-1}

Os parâmetros estatísticos usuais das taxas de remoção observados, respectivamente nas lagoas A1, F1 e M1, constam dos Quadros 2, 3 e 4.

| | \bar{X} | σ | σ^2 | CVX | Xmax | Xmin | n |
|--------------------------------|-----------|----------|------------|---------|-------|--------|----|
| Coliformes Fecais | 0,464 | 0,861 | 0,741 | 185,599 | 0,897 | -3,250 | 22 |
| <i>Streptococci</i> Fecais | 0,744 | 0,196 | 0,038 | 26,266 | 0,978 | 0,100 | 22 |
| <i>Pseudomonas aeruginosa</i> | 0,658 | 0,190 | 0,036 | 28,921 | 0,900 | 0,082 | 20 |
| <i>Clostridium perfringens</i> | 0,522 | 0,370 | 0,137 | 70,942 | 0,957 | -0,500 | 18 |

Quadro 2 - Média aritmética e restantes parâmetros estatísticos referentes às taxas de remoção dos quatro microorganismos estudados na Lagoa A1 nos dois períodos de amostragem.

| | \bar{X} | σ | σ^2 | CV X | X_{max} | X_{min} | n |
|--------------------------------|-----------|----------|------------|--------|-----------|-----------|----|
| Coliformes Fecais | 0,900 | 0,217 | 0,047 | 24,072 | 1,000 | 0,037 | 22 |
| <i>Streptococci</i> Fecais | 0,915 | 0,171 | 0,029 | 18,899 | 0,999 | 0,188 | 22 |
| <i>Pseudomonas aeruginosa</i> | 0,981 | 0,134 | 0,018 | 15,077 | 0,999 | 0,421 | 20 |
| <i>Clostridium perfringens</i> | 0,840 | 0,134 | 0,018 | 15,924 | 0,988 | 0,533 | 18 |

Quadro 3 -Média aritmética e restantes parâmetros estatísticos referentes às taxas de remoção dos quatro microorganismos estudados na Lagoa F1 nos dois períodos de amostragem.

| | \bar{X} | σ | σ^2 | CV X | X_{max} | X_{min} | n |
|--------------------------------|-----------|----------|------------|----------|-----------|-----------|----|
| Coliformes Fecais | 0,757 | 0,610 | 0,372 | 80,527 | 0,998 | -1,750 | 22 |
| <i>Streptococci</i> Fecais | 0,612 | 1,225 | 1,502 | 200,164 | 0,998 | -4,833 | 22 |
| <i>Pseudomonas aeruginosa</i> | -0,381 | 2,516 | 6,330 | 660,106 | 0,905 | -10,500 | 20 |
| <i>Clostridium perfringens</i> | -0,022 | 1,541 | 2,374 | 7047,708 | 0,980 | -5,140 | 18 |

Quadro 4 -Média aritmética e restantes parâmetros estatísticos referentes às taxas de remoção dos quatro microorganismos estudados na Lagoa M1 nos dois períodos de amostragem.

3.2. Correlação de remoções

No Quadro 5 temos uma coluna por ponto de amostragem. Cada uma destas colunas encontra-se dividida em 6 troços, cada um dos quais corresponde a um par de organismos sendo estes representados por:

CF - Coliformes Fecais;
SF - *Streptococci* Fecais;

Pa - *Pseudomonas aeruginosa*;
 Cp - *Clostridium perfringens*.

Por cada par indica-se:

r - coeficiente de correlação estimado;

t - estatística do teste "t" para a hipótese de ausência de correlação, bem como o resultado da transformação de FISHER dada por:

$$Z = \frac{1}{2} \log ((1 + r) / (1 - r))$$

Os níveis de significância utilizados foram:

X - 5%;
 XX - 1%;
 XXX - 0,1%;

| Pontos Comparados | Afluente Bruto | | | Efluente lagoa anaeróbia (A1) | | | Efluente lagoa facultativa (F1) | | | Efluente lagoa de maturação (M1) | | |
|-------------------|------------------------------|-------------|------------------------------|-------------------------------|-------------------------------|-------------|---------------------------------|-------------|------------------------------|----------------------------------|------------------------------|-------------|
| | r | t | z | r | t | z | r | t | z | r | t | z |
| CF/ /SF | 0,1271 0,7581 0,1278 | r t z | 0,2701 1,6598 0,2770 | r t z | 0,6891 5,6255*** 0,8472 | r t z | 0,2701 1,6598 0,2770 | r t z | 0,2701 1,6598 0,2770 | r t z | 0,2701 1,6598 0,2770 | r t z |
| CF/ /PA | 0,2834 1,7485 0,2914 | r t z | -0,0022 0,0131 -0,0032 | r t z | 0,3916 2,5180** 0,4137 | r t z | -0,0022 0,0132 -0,0022 | r t z | -0,0022 0,0132 -0,0022 | r t z | -0,0022 0,0132 -0,0022 | r t z |
| CF/ /CP | 0,3445 2,1711* 0,3592 | r t z | 0,2322 1,4122 0,2365 | r t z | 0,3962 2,5531** 0,4192 | r t z | 0,2322 1,4122 0,2365 | r t z | 0,2322 1,4122 0,2365 | r t z | 0,2322 1,4122 0,2365 | r t z |
| SF/ /PA | -0,1107 0,6588 -0,1111 | r t z | -0,3283 2,0559* 0,3409 | r t z | 0,6932 5,6899*** 0,8541 | r t z | -0,3283 2,0559 -0,3409 | r t z | -0,3283 2,0559 -0,3409 | r t z | -0,3283 2,0559 -0,3409 | r t z |
| SF/ /CP | 0,0204 0,1206 0,0204 | r t z | -0,1477 0,8833 -0,1488 | r t z | 0,3296 2,0652* 0,3424 | r t z | -0,1477 0,8833 -0,1488 | r t z | -0,1477 0,8833 -0,1488 | r t z | -0,1477 0,8833 -0,1488 | r t z |
| PA/ /CP | 0,1889 1,1378 0,1912 | r t z | 0,3420 2,1531* 0,3564 | r t z | 0,2817 1,7367 0,2895 | r t z | 0,3420 2,1531* 0,3564 | r t z | 0,3420 2,1531* 0,3564 | r t z | 0,3420 2,1531* 0,3564 | r t z |

Quadro 5 - Correlações das remoções

Como se pode verificar pelo exame do quadro 5:

- a) Para o par CF/SF tem-se correlação positiva significativa ($p \leq 0,1\%$) nos efluentes da lagoa facultativa;
- b) Também é nos efluentes da lagoa facultativa que se tem correlação positiva significativa ($p \leq 1\%$) para os pares CF/Pa e CP/Cp;
- c) Para o par SF/Pa encontra-se correlação negativa significativa ($Cp \leq 5\%$) nos efluentes da lagoa anaeróbica e da lagoa de maturação havendo correlação positiva significativa ($p \leq 0,1\%$) nos efluentes da lagoa facultativa;
- d) Para o par SF/Cp encontra-se correlação significativa positiva ($p \leq 5\%$) nos efluentes da lagoa facultativa;
- e) Para o par Pa/Cp encontram-se correlações significativas positivas nos efluentes das lagoas anaeróbica e da lagoa de maturação.

3.3. Comparação de correlações

Utilisando-se os valores dados pela transformação de FISHER procedem-se, à comparação das correlações que, para cada par de organismos, se tinham para os quatro pontos de amostragem.

Assim, segundo a técnica descrita em apêndice, começou por realizar-se um teste de chi-quadrado para a hipótese de existência de diferenças entre as correlações para os quatro pontos de amostragem.

Os pontos de amostragem eram:

- 1 - efluente bruto;
- 2 - efluente da lagoa anaeróbica;
- 3 - efluente da lagoa facultativa;
- 4 - efluente da lagoa de maturação.

Quando esta hipótese é rejeitada utilizamos uma modificação do método de comparação multipla de SCHEFFÉ cujos resultados apresentamos no quadro 6.

| Pares de pontos | CF/SF | CF/PA | CF/CP | SF/PA | SF/CP | PA/CP |
|-----------------|-----------|---------|---------|------------|---------|---------|
| X ² | 13,1081** | 3,9094 | 3,5488 | 28,1535*** | 4,6088 | 2,1313 |
| 1/2 | -0,1997 | 0,3931 | 0,1642 | 0,3075 | 0,2264 | -0,2211 |
| 1/3 | -0,9616 | -0,1637 | -0,0803 | -1,2920 | -0,4310 | -0,1316 |
| 1/4 | 0,0969 | 0,3138 | 0,4839 | -0,0890 | 0,0944 | 0,2241 |
| 2/3 | -0,7619 | -0,5568 | -0,2446 | -1,5995 | -0,6574 | 0,0895 |
| 2/4 | 0,2966 | -0,0793 | 0,3197 | -0,3966 | -0,1320 | 0,4452 |
| 3/4 | 1,0586 | 0,4775 | 0,5643 | 1,2029 | 0,5254 | 0,3557 |

Quadro 6 - Comparação de correlações.

Neste quadro temos uma coluna para cada par de organismos.

Em cada coluna, na primeira linha, encontra-se a estatística do teste de chi-quadrado. As linhas seguintes correspondem aos pares de locais. Se o valor que se encontra numa dada linha for < -1 [>1] a correlação correspondente ao primeiro local é significativamente inferior [superior] à do segundo local do par. Para cada coluna a probabilidade de erro para o conjunto das comparações feitas é de 5%.

Da análise do quadro 6 vê-se que apenas existem diferenças significativas entre correlações para os pares CF/SF e SF/Pa. Para o primeiro destes pares a correlação para o ponto 3 é significativamente superior à do ponto 1. Finalmente para o par SF/Pa a correlação para o ponto 3 é significativamente superior às restantes.

4. Conclusão

A variação das correlações de ponto para ponto de amostragem e a existência inclusivé de correlações negativas significativas apontam para a não existência de redundância na informação recolhida ao passar-se a trabalhar com 4 organismos em vez das 2 tradicionais. Será pois de recomendar a utilização desta "bateria alargada" de indicadores tanto mais que como referimos não existirem, provavelmente, indicadores optimos.

Anexo

Metodologia estatística

Sejam ρ_i^* , $i = 1,2,3,4$, os coeficientes de correlação estimados para um dado par de organismos e para os quatro pontos de amostragem. Então, ver KENDAL & STUART (1958, pg 391), podemos admitir que, as

$$Z_i = \frac{1}{2} \log ((1 + \rho_i^*) / (1 - \rho_i^*)) ; i = 1,2,3,4$$

são normais, independentes, com valores médios

$$\mu_i = \frac{1}{2} \log ((1 + \rho_i) / (1 - \rho_i)) ; i = 1,2,3,4$$

e variância $\delta^2 = 1/34$. Então, debaixo da hipótese

$$H_0 : \rho_1 = \rho_2 = \rho_3 = \rho_4$$

a estatística

$$X = 34 \left[\sum_{i=1}^4 Z_i^2 - \frac{1}{4} \left(\sum_{i=1}^4 Z_i \right)^2 \right]$$

distribui-se como um chi-quadrado com 3 graus de liberdade.

Por outro lado, sendo $x_{4,1-q}$ o quantil para a probabilidade $1 - q$ da distribuição do chi-quadrado com 4 graus de liberdade, uma modificação directa do método de comparação multipla de SCHEFFÉ diz-nos que, quando

$$|Z_i - Z_j| > \sqrt{\frac{1}{17} x_{4,1-q}}$$

podemos concluir, com probabilidade de erro não superior a q , que $\rho_i \neq \rho_j$.

BIBLIOGRAFIA

- BONDE, G. J., "Bacterial Indicators of Water Pollution" 2nd ed. Tekn, Forlag, Copenhagen, 1963.
- BONDE, G. J., "Bacteriological Methods for Estimation of Water Pollution" Hlth. Lab. Sci., 3, 1966, p 124-128.
- BUCHNAN, R. E. e GIBBONS, N. E. "Berger's Manual of Determinative Bacteriology" 8 th ed. Williams and Wilkins, Baltimore, 1974.
- BUTTIAUX, R. e MOSSEL, D. A. A., "The Significance of Various Organisms of Faecal Origin in Foods and Drinking Water" J. Appl. Bact 24, 1961, p 353-364.
- CABELLI, V. J., KENNEDY e LEVIN, M. A. "*Pseudomonas aeruginosa* - Faecal Coliform Relationships in Estuarine and Fresh Recreational Waters". J. Wat. Pollut. Cont. Fed 48(2) 1976, p 367-376.
- C.E.T.E.S.B. - "Lagoas de Estabilização", Companhia de Tecnologia de Saneamento Ambiental, S. Paulo, Brasil, 1985.
- DUTTKA, B. J. "Coliforms are an inadequate index of Water Quality" Jour. Environ. Health 36(1), 1973, p 39-46.
- KENDAL M & STUART, A - The Advanced Theory of Statistics, Vol. I - Charles Griffin & CO - Londres, 1958.
- GELDREICH, E. E.; CLARK, H. P.; HUFF, C. B. "A Study of Pollution Indicators in a Waste Stabilization Pond" J. Wat. Pollut. Cont. Fed 36 (11), 1964, p 1372-1379.
- GLOYNA, E. F., "Bassins de Stabilization des Eaux Usées, O.M.S., Geneve 1972.
- MARA, D. D., "Sewage Treatment in Hot Climates" John Wiley, London, 1976.
- OLIVEIRA, J. S.; NASCIMENTO, M. J.; SOUSA, J. G. - Sistemas de Lagunagem no Tratamento de Efluentes Domésticos e Industriais em Zonas Litorâneas. Estoril, II Jornadas Técnicas da A.P.R.H., 1985.
- OLIVEIRA, J. S., SOUSA J. G. "Lagooning In Portugal" Wastes Quat. Bull (in print) 1986.

ORAGUI, J. I. - "Bacteriological Methods for the Distinction Between Human and Animal Faecal Pollution". PhD Thesis, Department of Civil Engineering, University of Leeds, 1982.

SOUSA, J. G. - Tratamento de Aguas Residuais por Lagoas de Estabilização - A Instalação Experimental de Frielas, I Simpósio Luso-Brasileiro de Engenharia Sanitária e Ambiental - A.P.R.H. - 1984, Lisboa.

Standard Methods for the Examination of Water and Wastewater, 25th ed. Amer. Publ. Health Ass. Inc New York 1980.